

```
case MOTOR_BACKWARD:  
    output_bit(PIN_B5, 1);  
    output_bit(PIN_B4, 0);  
    dmr = MOTOR_BACKWARD;  
    break;  
case MOTOR_STOP:  
    output_bit(PIN_B5, 1);  
    output_bit(PIN_B4, 1);  
    dmr = MOTOR_STOP;  
    break;  
}  
break;
```

Rutinas de Servicio para las Interrupciones

para atender el desbordamiento de TIMER0

```
ctrl = 0;  
if (velocity_ctrl == VELOCITY_IDLE_TICS) {  
    hacemos la velocidad para su consulta  
    velocity_ctrl = velocity_tics;  
    velocity_timer1();  
    reiniciamos contadores.  
    velocity_timer1(0);  
    velocity_tics = 0;  
    velocity_ctrl = 0;  
}
```

```
// ISR para atender a la línea INT/RB0.  
#int_EXT  
EXT_isr() {  
    aux_1_tics++;  
}
```

```
void gobck() {  
    dir_motor(MOTOR_L, MOTOR_BACKWARD);  
    dir_motor(MOTOR_R, MOTOR_BACKWARD);  
}
```

OPTIMUS2003

PFC

mauro silvosa rivera
<http://optimus.meleisland.net>

Este proyecto forma parte de un concurso de robótica organizado por el gobierno de Chile en el año 2003. El ganador de este concurso fue el equipo "OPTIMUS" liderado por Mauro Silvosa Rivera. Este proyecto es una adaptación de este equipo a un entorno de desarrollo de software.





Diseño y construcción de la base de un robot móvil autónomo gobernada por microcontrolador

Mauro Silvosa Rivera

Tutor: Carlos Vázquez Regueiro





OBJETIVOS:

Diseño y construcción de una base de un robot móvil autónomo, gobernada por microcontrolador:

- Sencilla
- Fácil de implementar
- De bajo coste
- Con buenas prestaciones
- Versátil





CONTENIDO DE LA EXPOSICIÓN:

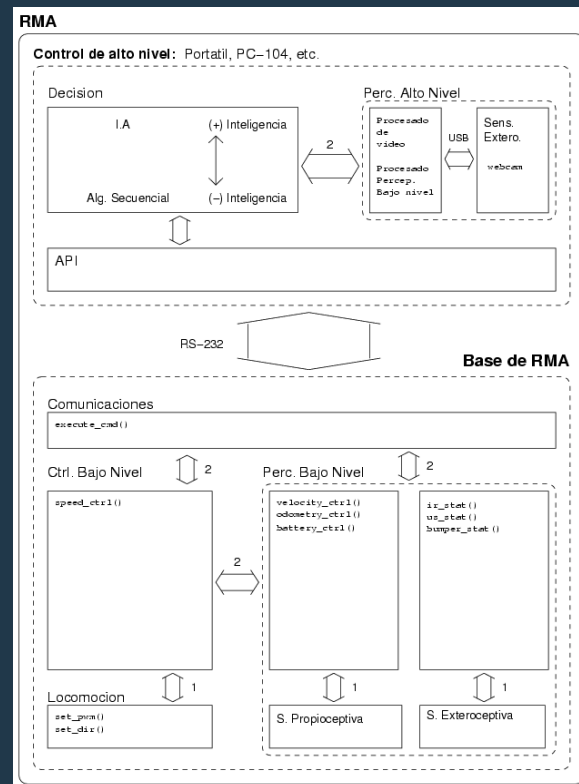
1. Introducción
2. Diseño de la plataforma
3. Diseño del control
4. Diseño de la API
5. Validación experimental
6. Conclusiones y trabajo futuro





1. Introducción

Estructura hardware / software de la base de un robot móvil autónomo.





2. Diseño de la plataforma

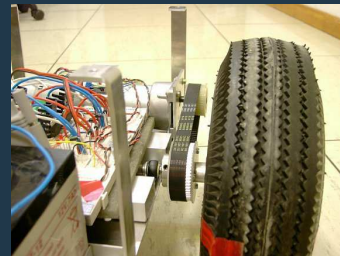
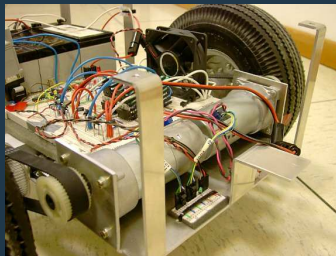
- Etapa mecánica
- Electrónica de potencia y control de motores
- Control por microcontrolador y comunicaciones
- Características finales de la base de robot móvil





2.1 Etapa mecánica

- Motores DC y encoders ópticos
- Transmisión
- Ruedas
- Chasis





2.2 Electrónica de potencia y control de motores

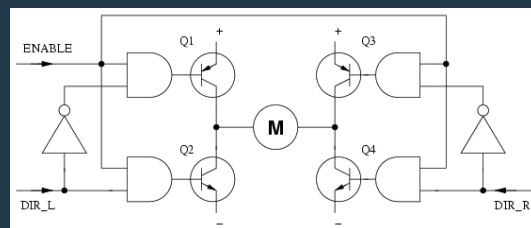
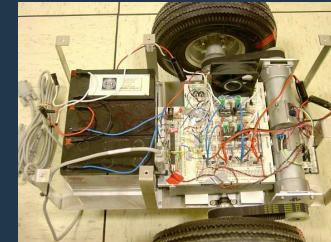
- Baterías

- Motores: 24 V, 7 Ah

- Control y comunicaciones: 12 V, 7 Ah (regulada a 5 V, 1 A)

- Control de motores

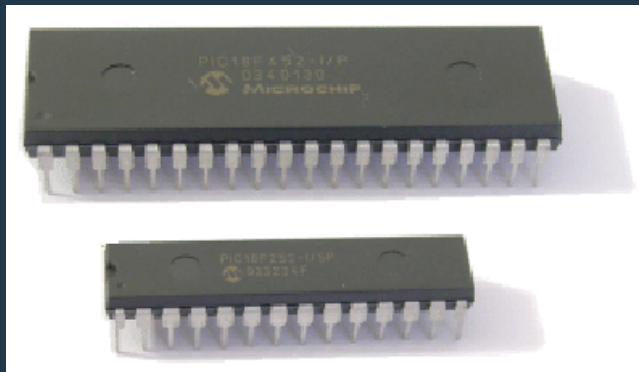
- Mediante puentes-H: Interfaz entre el microcontrolador (poca tensión y bajas corrientes) y los motores (alta tensión y grandes corrientes).





2.3 Control por microcontrolador y comunicaciones (I)

- Motivación: integrar en un único C.I. la electrónica necesaria para el control y la percepción de bajo nivel de la base y la gestión de las comunicaciones
- Comunicaciones: línea serie RS-232 a 115000 bps





2.3 Control por microcontrolador y comunicaciones (II)

Características principales del PIC18F252:

- Módulo de comunicaciones serie RS-232
- 4 contadores: 2 para el uso exclusivo de los encoders
- Múltiples puertos de E/S: control de motores
- 2 módulos PWM: control de velocidad
- Conversores A/D: monitorizar la carga de las baterías
- Potente: hasta 10 MIPS con CPI=1 (CPI=2 en saltos)
- Programable en C

Proporciona los recursos suficientes para ejecutar todas las tareas necesarias para el control de la base de robot móvil





2.4 Características de la base de robot móvil

- Dimensiones: 540 x 520 x 265 mm (Largo x Ancho x Alto)
- Peso: 15 Kg
- Autonomía: 4-7 h
- Diámetro de las ruedas: 260 mm
- Distancia al suelo (vuelo): 85 mm
- Velocidad máxima y mínima: 2,8 m/s - 300 mm/s
- Precio: 495,68 €





3. Diseño del control

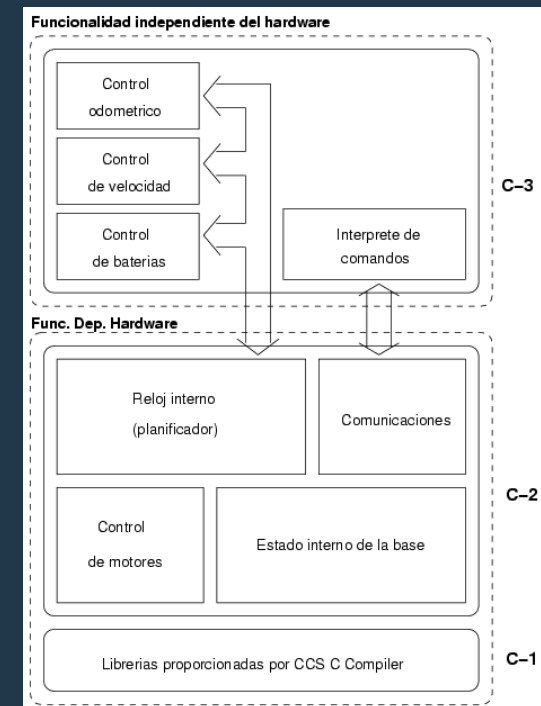
- Estructura de capas del software de control
- Funcionalidad dependiente del hardware
 - Cálculo de la velocidad de las ruedas
 - Cálculo del nivel de carga de las baterías
 - Recepción de datos por la línea serie RS-232
- Funcionalidad independiente del hardware
 - Control de la velocidad
 - Control del nivel de carga de las baterías
 - Cálculo de la odometría
 - Intérprete de comandos
- Planificador de tareas





3.1 Estructura de capas del software de control

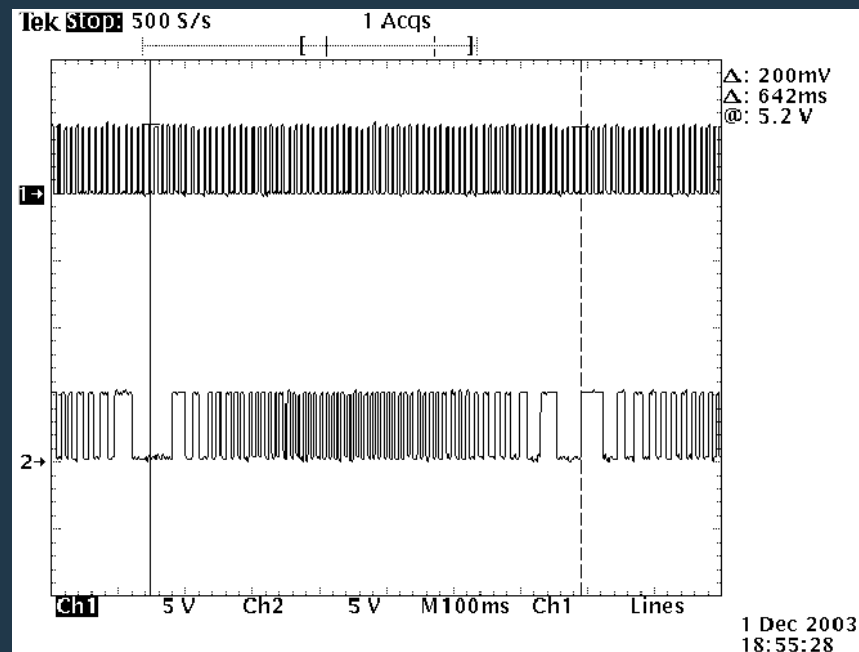
- Ventajas: portabilidad, inteligibilidad, legibilidad, fiabilidad y rapidez de desarrollo.
 - Inconvenientes: mayor consumo de memoria.
- C-1: Funciones librería del compilador.
Dependencia directa del hardware.
- C-2: Funcionalidad dependiente del compilador y del hardware.
- C-3: Algoritmos de control e intérprete de comandos. Independientes de hardware y compilador.





3.2.1 Cálculo de la velocidad de las ruedas

- Contar los pulsos generados por cada encoder en un intervalo de tiempo regular y almacenar en vector de estado



```
#int_TIMER3
TIMER3_isr() {

    set_timer3(T3_INIT_VALUE);
    time_inc_internal_time();

    // CALCULAMOS LA VELOCIDAD.
    velocity_ctrl++;
    if (velocity_ctrl == VEL_WORKING_CICLE) {

        vel_set_real_tics(MOTOR_LEFT, get_timer0());
        vel_set_real_tics(MOTOR_RIGHT, get_timer1());

        // Reiniciamos contadores.
        set_timer1(0);
        set_timer0(0);
        velocity_ctrl = 0;
    }
}
```





3.2.2 Cálculo del nivel de carga de las baterías

- Leer las entradas de los conversores A/D conectados a las baterías y almacenar en el vector de estado

```
#int_TIMER3
TIMER3_isr() {

    set_timer3(T3_INIT_VALUE);
    time_inc_internal_time();

    // CONTROLAMOS EL NIVEL DE CARGA ACTUAL DE LAS BATERÍAS.
    battery_ctrl++;
    if (battery_ctrl == BATTERY_CTRL_WORKING_CICLE) {

        set_adc_channel(0);
        pwr_set_battery_level(LOGIC_BATT, (unsigned int16) read_adc() * LOGIC_TOVOLTS);

        do_battery_ctrl();
        battery_ctrl = 0;
    }
}
```





3.2.3 Recepción datos por la línea serie RS-232

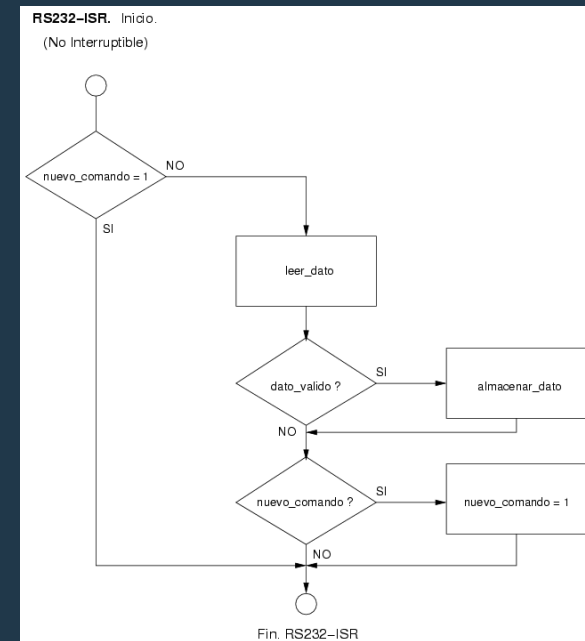
- Con cada interrupción hardware de la línea RS-232 se almacena el dato recibido. Activa un flag cuando recibe un "fin de comando".

```
#int_RDA
RDA_isr() {
    char aux;

    aux = getc();
    if (buffer_current_pos < BUFFER_SIZE && !new_command) {
        if (!(isalnum(aux) || aux==CR || aux==LF || aux==SP || aux=='-' ||
            aux=='_' || aux=='.'))
            return;

        if (aux == CR || aux == LF) {
            buffer[buffer_current_pos] = ' ';
            buffer[buffer_current_pos+1] = '\0';
            new_command = 1;
            buffer_current_pos = 0;
            return;
        }

        buffer[buffer_current_pos] = aux;
        buffer_current_pos++;
    }
}
```





3.3.1 Control de la velocidad (I)

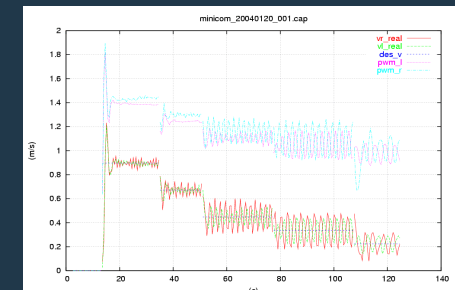
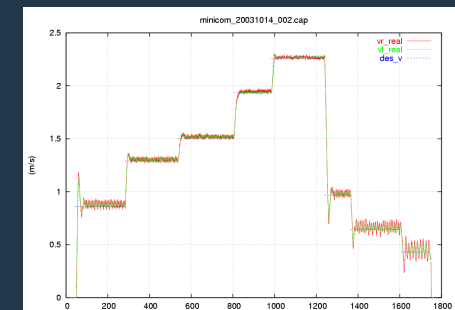
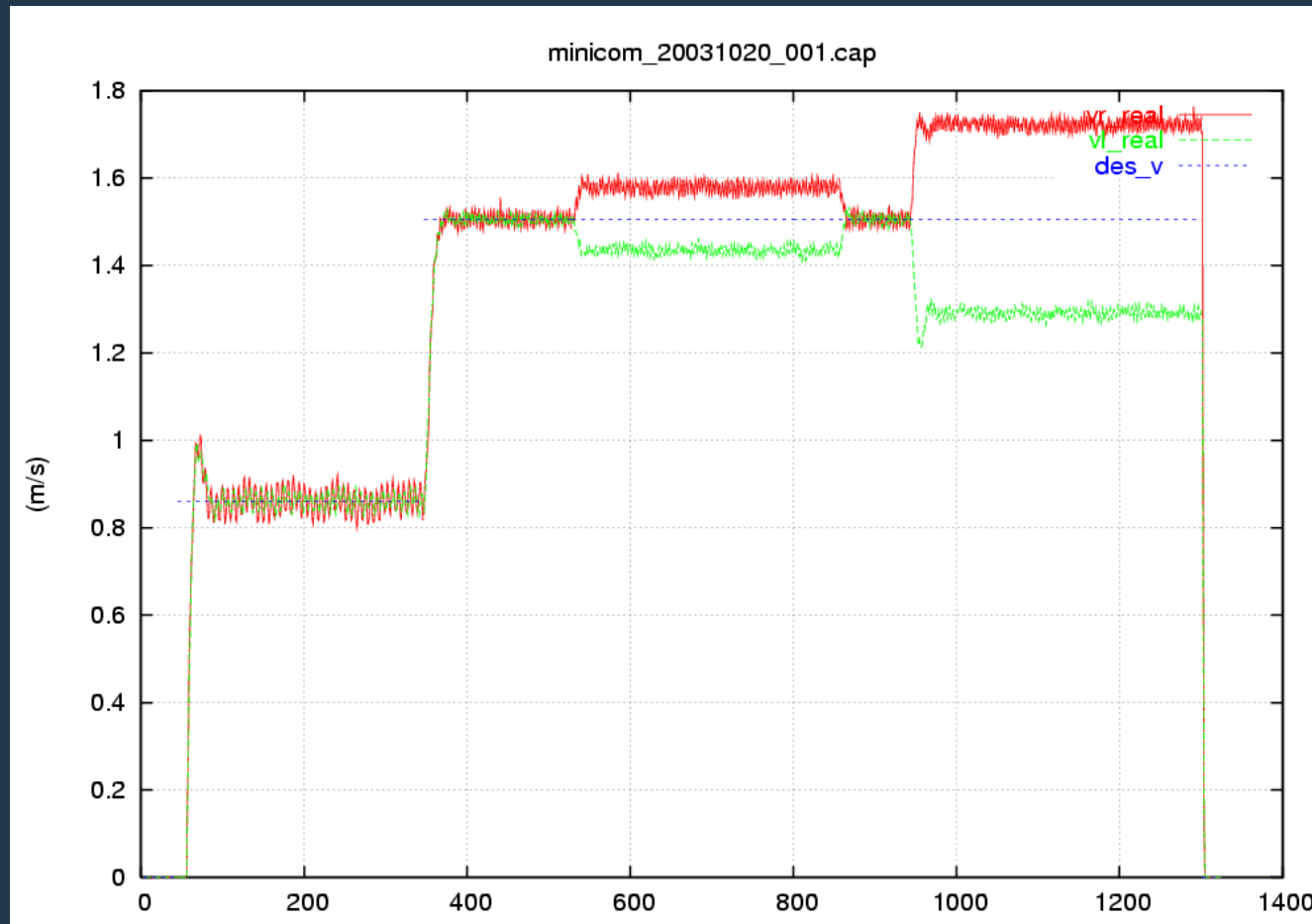
- Modificación del ciclo de trabajo de las señales PWM en función de la diferencia entre la velocidad real y la deseada (control PI).
- Los giros se realizan incluyendo un desplazamiento o "bias".

```
vl_real = vel_get_real_tics(MOTOR_LEFT);  
vr_real = vel_get_real_tics(MOTOR_RIGHT);  
  
bias_error = (bias_error + (vel_get_des_bias() - (vr_real - vl_real))) / _ki;  
  
vl_error = vel_get_des_vel() - vel_get_des_bias()/2 - vl_real - bias_error;  
vr_error = vel_get_des_vel() + vel_get_des_bias()/2 - vr_real + bias_error;  
  
vl_error = vl_error / get_kp(vl_error);  
vr_error = vr_error / get_kp(vr_error);  
  
pwm_set_duty_cicle(MOTOR_LEFT, pwm_get_duty_cicle(MOTOR_LEFT) + vl_error);  
pwm_set_duty_cicle(MOTOR_RIGHT, pwm_get_duty_cicle(MOTOR_RIGHT) + vr_error);
```





3.3.1 Control de la velocidad (y II)





3.3.2 Cálculo de la odometría (I)

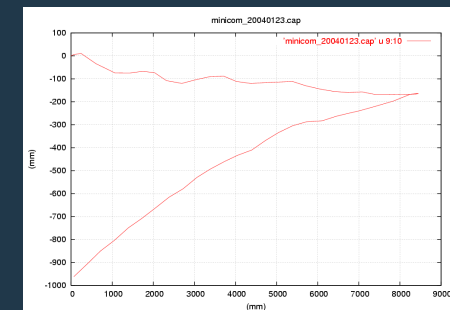
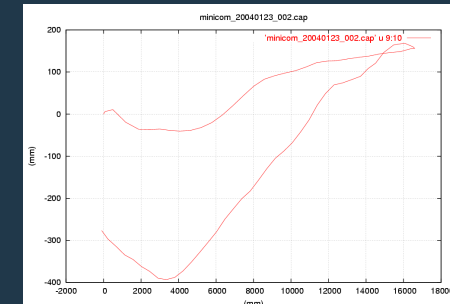
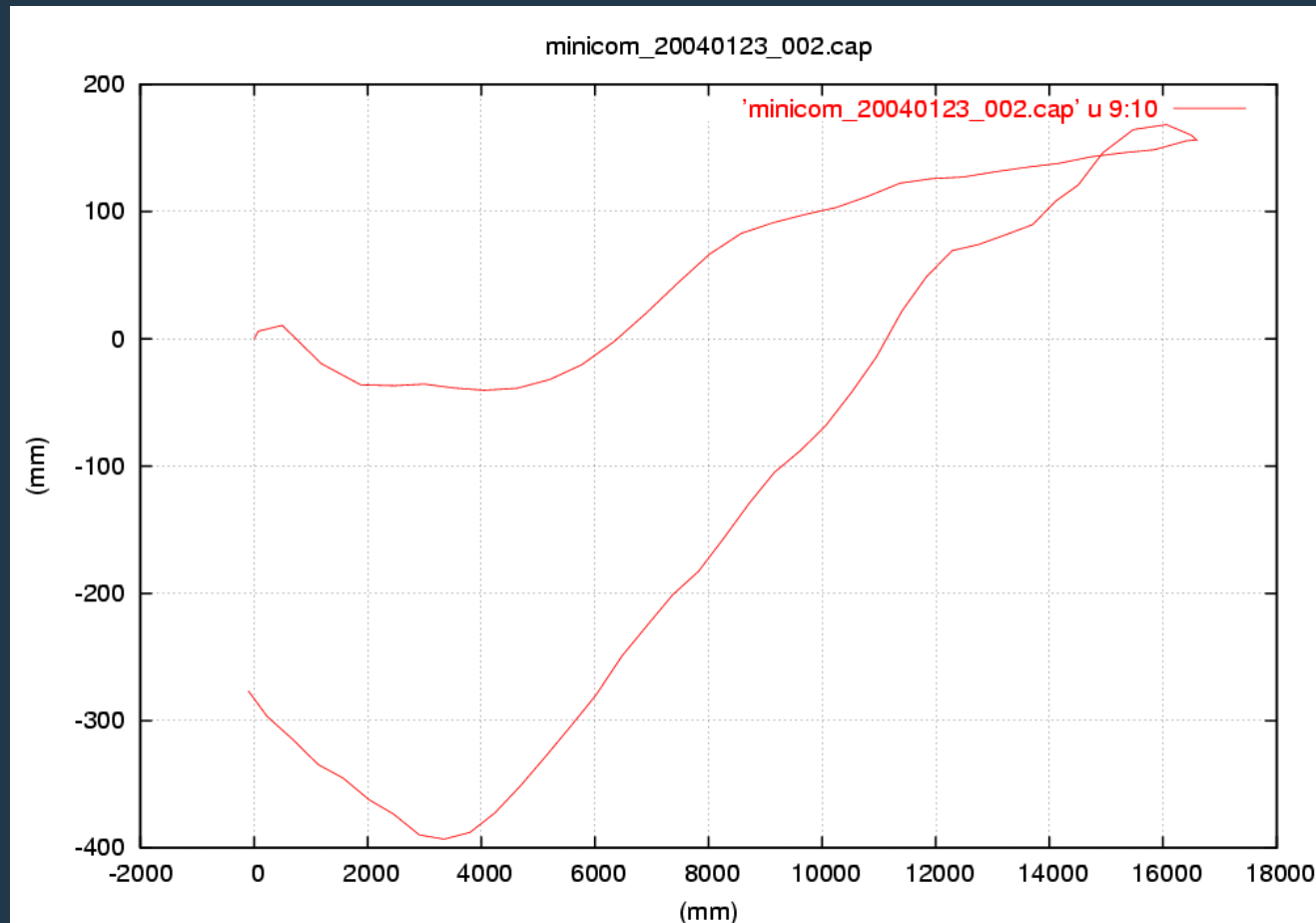
- Con cada actualización de velocidad se recalcula la posición de la base, en función del desplazamiento lineal de cada rueda (Dl y Dr)

```
t1 = (float) vel_get_real_tics(MOTOR_LEFT) * ODOMETRY_F;  
tr = (float) vel_get_real_tics(MOTOR_RIGHT) * ODOMETRY_F;  
tc = (tr + t1) / 2;  
dth = (tr - t1) / ODOMETRY_B;  
  
odo_set_th(odo_get_th() + dth);  
while (odo_get_th() >= DOS_PI) odo_set_th(odo_get_th() - DOS_PI);  
  
odo_set_x(odo_get_x() + tc * cos(odo_get_th()));  
odo_set_y(odo_get_y() + tc * sin(odo_get_th()));
```





3.3.2 Cálculo de la odometría (y II)

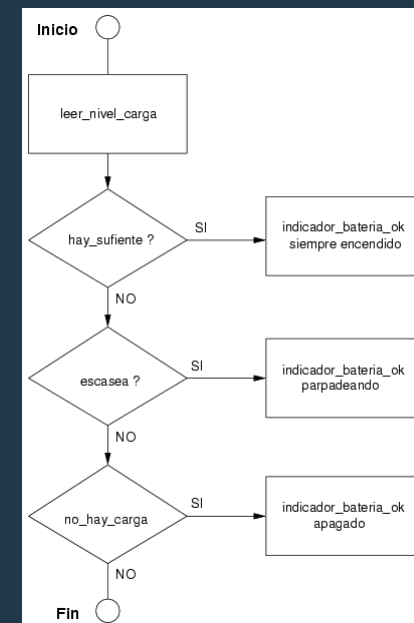




3.3.3 Control del nivel de carga de las baterías

- Monitorización regular del valor de tensión de las baterías. Al bajar de un cierto nivel un led comienza a parpadear. Al agotarse, la base se detiene y entra en modo de bajo consumo (sleep).

```
if (pwr_get_battery_level(LOGIC_BATT) > BLINK_START)
    pwr_set_battery_led(LOGIC_BATT, BATT_LED_ON);
else {
    if (pwr_get_battery_level(LOGIC_BATT) > LOW_BATTERY &&
        pwr_get_battery_level(LOGIC_BATT) < BLINK_START) {
        if (!blink_led) {
            pwr_set_battery_led(LOGIC_BATT, BATT_LED_ON);
            blink_led = 1;
        }
    }
    else {
        pwr_set_battery_led(LOGIC_BATT, BATT_LED_OFF);
        blink_led = 0;
    }
}
else {
    pwr_set_battery_led(LOGIC_BATT, BATT_LED_OFF);
    printf("# ERR. Optimus Panic! Out of battery");
    sleep();
}
}
```



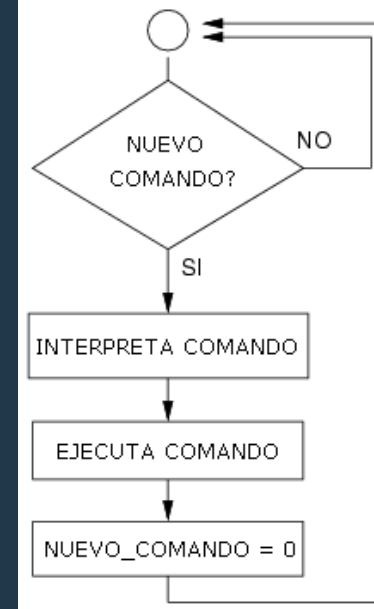


3.3.4 Intérprete de comandos

- Se ejecuta un comando si:
 1. La CPU no está ocupada en tareas prioritarias de control.
 2. Se ha recibido previamente la señal de "fin de comando".

```
void execute_cmd(char *cmd_line) {  
    ...  
    ptr = my_strtok(cmd_line, ' ');  
    switch (identify_cmd(ptr)) {  
        case COD_STAT:  
            _get_status();  
            break;  
        case COD_SETVEL:  
            vel_set_desired(atol(my_strtok(0, ' ')),  
                           atol(my_strtok(0, ' ')));  
            printf(STR_OK);  
            break;  
        ...  
    }  
    ...  
}
```

Programa principal. Inicio.



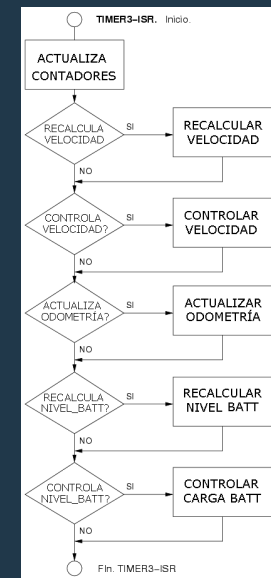


3.4 Planificador de tareas

- Implementación:

1. Configurar la interrupción por desbordamiento de TIMER3, para que interrumpa a la CPU cada 100 ms.
2. En la rutina de servicio de la interrupción se determina qué tareas se deben ejecutar y se ejecutan.

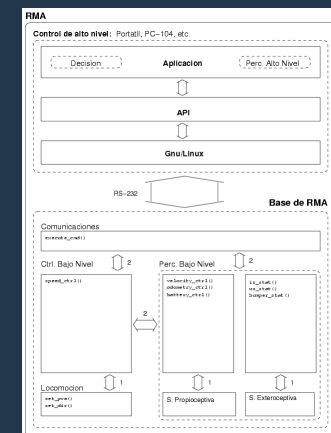
```
#int_TIMER3
TIMER3_isr() {
    ...
    velocity_ctrl++;
    if (velocity_ctrl == VEL_WORKING_CICLE) { // Recalcula velocidad
        check_velocity();
        velocity_ctrl = 0;
    }
    speed_ctrl++;
    if (speed_ctrl == SPEED_CTRL_WORKING_CICLE) { // Controla velocidad
        do_speed_control(_do_stop());
        speed_ctrl = 0;
    }
    odo_ctrl++;
    if (odo_ctrl == ODOMETRY_CTRL_WORKING_CICLE) { // Actualiza odometría
        do_odometry_ctrl();
        odo_ctrl = 0;
    }
    ...
}
```





4. Diseño de la API

- Motivación: proporcionar al programador del control y percepción de alto nivel una interfaz software que le permita aprovechar toda la funcionalidad de la base al tiempo que le oculta los detalles de implementación del control y el protocolo de comunicaciones.
- Ventajas: las derivadas del diseño por capas: legibilidad, fiabilidad, portabilidad e independencia (del hardware).
- Tipos y listado de las funciones más importantes.





4.1 Listado de las funciones más importantes

- 3 tipos: para ocultar comunicaciones, control y estado de la base.

Comunicaciones	Estado	Control
<code>int connect()</code> <code>int disconnect()</code>	<code>int read_status()</code> <code>int get_internal_time()</code> <code>int get_left_vel()</code> <code>float get_pos_x()</code> <code>float get_logic_batt()</code>	<code>void set_pose()</code> <code>void set_time()</code> <code>void set_vel()</code> <code>void_stop()</code> <code>void_free_stop()</code>





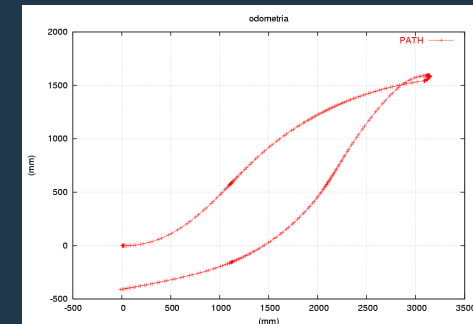
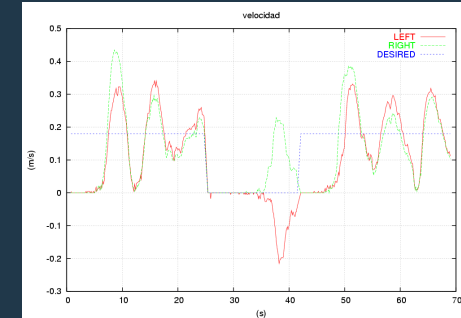
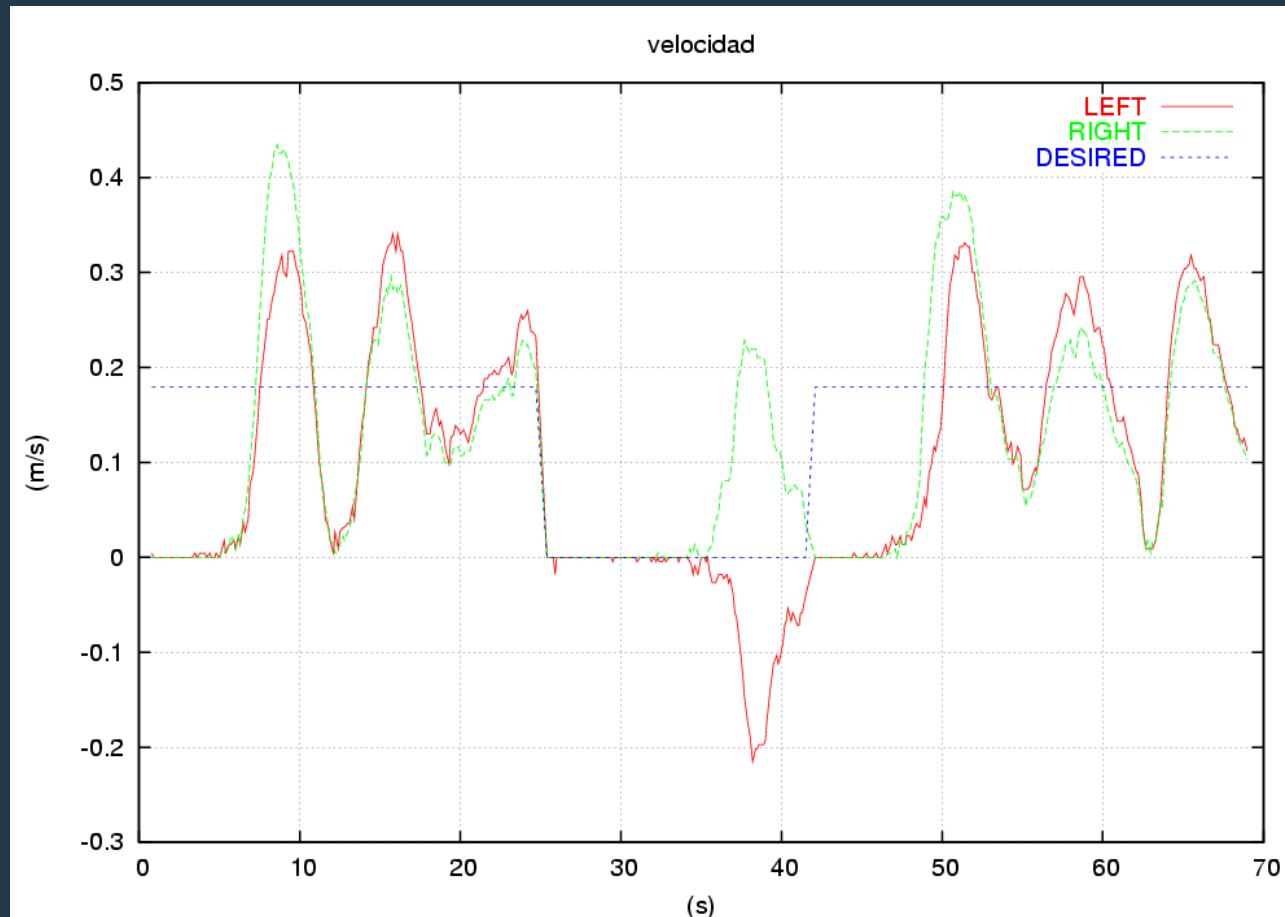
5. Validación experimental

- Vídeo ejemplo
- Resultados
- Discusión





5.1 Resultados





5.2 Discusión

- A la vista de los resultados podemos concluir que:
 1. El control no consigue mantener estable la dirección de la base
 2. Tampoco consigue mantener velocidades pequeñas constantes
 3. El tiempo de respuesta es muy grande
- Las razones de estos problemas son fundamentalmente mecánicas: diseño del chasis, tamaño de las ruedas, transmisión, rodamientos, motores, precisión encoders, ...
- Subsanaos estos errores de diseño hay motivos suficientes para pensar que el control implementado es estable





6. Conclusiones (I)

- Se ha diseñado y construido una base de robot móvil de bajo coste a partir de sus componentes básicos: motores, chasis, ...
- La base implementa todas las funciones de bajo nivel de un robot móvil autónomo comercial: percepción, control y comunicaciones:
 - odometría, carga de las baterías, ...
 - control en velocidad lineal y angular
 - comunicaciones vía puerto serie
- Para simplificar la electrónica el control se ha basado en un microcontrolador (μC): el PIC18F252
- Los recursos de este μC nos permiten controlar todos los elementos necesarios de la base





6. Conclusiones (y II)

- La programación del microcontrolador se ha estructurado en capas y se ha codificado en lenguaje C:
 - independencia del hardware
 - facilita la migración a otros microcontroladores
- Todas las tareas de control (odometría, control de velocidad, ...) se logran ejecutar en tiempo real
- También se ha desarrollado una sencilla interfaz para las comunicaciones y el control de la base
- La odometría implementada posee una buena precisión aunque el control de la velocidad es algo deficiente





6. Trabajo futuro

- Mejoras mecánicas: desplazar el centro de gravedad del vehículo hacia el eje motriz, aumentar factores de reducción, ...
- Trabajar con encoders de cuadratura para aumentar la precisión del control
- Mejora del control usando la velocidad media y no la instantánea a velocidades bajas
- Proporcionar la capacidad de añadir sensores a la base
- Definir una arquitectura de múltiples μC 's (bus I2C) dedicados a las distintas tareas de control





<http://optimus.meleeisland.net>

